Esame di Meccanica del volo — Modulo di Manovre e Stabilità — Prova scritta, 8 maggio 2012

Sia dato un velivolo monomotore simile al General Atomics MQ-1 Predator, con propulsore a elica posizionato in coda (figura 1), in volo alla quota di 3000 m, caratterizzato dai dati riportati nelle tabelle seguenti.

Tahella	1	Dati	globali	de1	velivolo.
Iabella		Dau	giodan	ucı	venvoio.

Massa totale, $m = W/g$	1769 kg
Coefficiente di resistenza a portanza nulla, C_{D_0}	0,027
Fattore di Oswald della polare, $e_{ m tot}$	0,57
Posizione adimensionale del baricentro rispetto al bordo d'attacco della corda media aerodinamica, x_{cg}/\bar{c}	0,310

Tabella 3 Dati	caratteristici	dell'ala.	(Continua)
----------------	----------------	-----------	------------

	inua)
Apertura, b	11,58 m
Corda di radice, $c_{\rm r}$	1,71 m
Rapporto di rastremazione, $\lambda = c_{\rm t}/c_{\rm r}$	0,80
Gradiente del coefficiente di portanza del profilo alare alla radice, $C_{\ell_{\alpha},W,r}$ (dato 2D)	$0,061 \mathrm{deg^{-1}}$
Gradiente del coefficiente di portanza del profilo alare all'estremità, $C_{\ell_{\alpha},W,t}$ (dato 2D)	$0,068 \mathrm{deg^{-1}}$
Angolo di portanza nulla del profilo alare di radice, $\alpha_{0\ell,r}$ (dato 2D)	$-2 \deg$
Angolo di portanza nulla del profilo alare d'estremità, $\alpha_{0\ell,t}$ (dato 2D)	-3 deg
Svergolamento geometrico d'estremità, ε_{t}	−3 deg
Angolo di portanza nulla dell'ala, $\alpha_{0L,W}$ (dato 3D)	?
Calettamento della corda di radice rispetto alla retta di riferimento della fusoliera, $i_{\rm W}$	a 2,2 deg
	-

Tabella 4 Dati caratteristici dell'impennaggio orizzontale. Forma in pianta rettangolare, profilo simmetrico.

Superficie di riferimento, $S_{\rm H}$	$3,97 \text{ m}^2$
Apertura, b _H	3,66 m
Distanza del centro aerodinamico dell'impennaggio dal bordo d'attacco della corda di radice, $X_{\rm ac,H}$	5,90 m
Corda di radice, $c_{\rm r,H}$	1,09 m
Gradiente del coefficiente di portanza del profilo alare, $C_{\ell_{\alpha},\mathrm{H}}$ (dato 2D)	$0.06 \mathrm{deg^{-1}}$
Fattore di Oswald, $e_{\rm H}$ (di resistenza indotta)	0,90
Rapporto delle pressioni dinamiche, $\eta_{\rm H}=\bar{q}_{\rm H}/\bar{q}_{\infty}$	1,298
Calettamento dell'impennaggio orizzontale, $i_{\rm H}$	−1 deg
Fattore di efficacia dell'elevatore, $ au_{\rm e}$	0,42
Gradiente del coefficiente di momento di cerniera, $C_{\mathcal{H}_{\alpha},\mathrm{e}}$	$-0,0075\mathrm{deg^{-1}}$
Gradiente del coefficiente di momento di cerniera, $C_{\mathcal{H}_{\mathcal{S}_{\mathrm{e}}},\mathrm{e}}$	$-0.0150\mathrm{deg^{-1}}$
Corda di riferimento dell'equilibratore, $ar{c}_{\mathrm{e}}$	0,33 m

Tabella 2 Dati della fusoliera.

Coefficiente di momento di beccheggio a portanza nulla, $C_{\mathcal{M}_{0,\mathrm{f}}}$	-0,056
Gradiente del coefficiente di momento di beccheggio, $C_{\mathcal{M}_{\alpha,\mathrm{f}}}$	$0,0067\mathrm{deg^{-1}}$
Gradiente del coefficiente di momento di imbardata, $C_{N_{\beta,f}}$	$-0,00140\mathrm{deg^{-1}}$

Tabella 3 (*Continua dalla precedente*)

Dati caratteristici dell'ala.

Posizione adimensionale del centro aerodinamico dell'ala rispetto al bordo d'attacco della corda media aerodinamica, $x_{\rm ac,W}/\bar{c}$ (dato 3D)	0,27
Coefficiente di momento di beccheggio intorno al centro aerodinamico alare, $C_{\mathcal{M}_{ac},W}$ (dato 3D)	-0,053
Fattore di Oswald, $e_{\rm W}$ (di resistenza indotta)	0,82
Posizioni adimensionali in apertura delle sezioni estreme degli alettoni, $(\eta_{inner}; \eta_{outer})$	0,647; 0,958
Fattore di efficacia dell'alettone, τ_a	0,37
Angolo di freccia del bordo d'attacco, Λ_{le}	2 deg
Angolo di diedro, Γ	6,5 deg

Tabella 5 Dati caratteristici dell'impennaggio verticale.

1	
Superficie di riferimento, $S_{ m V}$	$3,50{\rm m}^2$
Distanza del centro aerodinamico dell'impennaggio dal baricentro del velivolo, $l_{\rm V}$	5,70 m
Distanza verticale media tra il centro aerodinamico dell'impennaggio verticale e la direzione della velocità, $h_{\rm V}$	1,18 m
Gradiente del coefficiente di portanza dell'impennaggio, $C_{L_{\alpha}, V}$ (dato 3D)	3,24 rad ⁻¹
Rapporto delle pressioni dinamiche, $\eta_{ m V}=ar{q}_{ m V}/ar{q}_{\infty}$	1,298
Fattore di efficacia del timone, $\tau_{\rm r}$	0,45
Gradiente dell'angolo di <i>sidewash</i> , $d\sigma/d\beta$	0,12
Gradiente den angolo di sidewash, do/dp	0,12

Tabella 6 Dati del sistema propulsivo. (velivolo monomotore a elica, propulsore in coda).

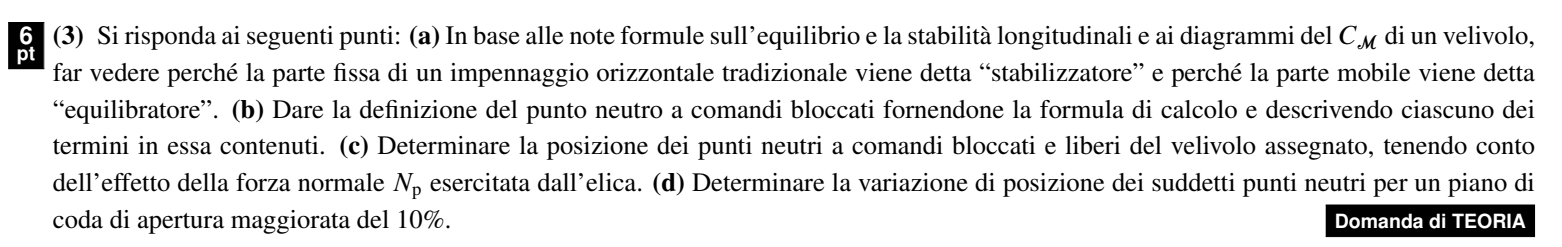
Diametro dell'elica, $D_{\rm p}$	1,9 m
Gradiente dell'angolo di <i>downwash</i> in corrispondenza dell'elica, $(d\varepsilon/d\alpha_B)_p$?
Gradiente del coefficiente di forza normale dell'elica, d $C_{N_{ m p}}/{ m d}lpha_{ m p}$	$0,0025\mathrm{deg^{-1}}$
Distanza longitudinale del punto di applicazione della spinta dal bordo d'attacco della corda di radice dell'ala, $X_{\rm T}$ (> 0 verso la coda)	6,48 m

QUESITI

(1) Nel moto di un velivolo si definiscono diversi numeri di Strouhal. Quali di essi sono introdotti nella teoria delle derivate aerodinamiche? Quale esperimento conducibile su un profilo alare mette in risalto gli effetti aerodinamici instazionari? In quale regime di frequenze ridotte si effettua una formulazione semplificata degli effetti legati ad $\dot{\alpha} \neq 0$? Ricavare la derivata di smorzamento $C_{\mathcal{M}_{\dot{\alpha}}}$.

(2) Il velivolo assegnato ha un numero di Mach di volo M=0.33 ed effettua una manovra di virata corretta ($\beta=0^{\circ}$) con un angolo di bank di 40°. In questa manovra si ha una velocità angolare di beccheggio q=2.791 deg/s. L'elica, oltre ad un'aliquota di spinta, produce anche una forza $N_{\rm p}$ appartenente al piano del disco e diretta verso l'alto. Tale forza si esprime adimensionalmente come $C_{N_{\rm p}}=N_{\rm p}/(q_{\infty}\,S_{\rm p})$, con $S_{\rm p}$ l'area del disco dell'elica. Nella tabella 6 è dato il gradiente d $C_{N_{\rm p}}/{\rm d}\alpha_{\rm p}$, dove $\alpha_{\rm p}$ è l'angolo d'attacco della corrente in corrispondenza del disco dell'elica.

Si risponda ai seguenti punti: (a) Disegnare schematicamente la vista laterale e la vista dall'alto del velivolo indicando tutte le grandezze geometriche d'interesse. (b) calcolare l'angolo d'attacco di volo (rispetto alla retta di riferimento della fusoliera) e la corrispondente deflessione dell'equilibratore a comandi bloccati, per l'assegnato calettamento del piano orizzontale i_H ; (c) determinare il carico di equilibrio L_H , in modulo e segno, agente sul piano orizzontale di coda a comandi bloccati, valutandone l'entità in percentuale rispetto alla portanza totale; (d) calcolare il coefficiente di momento di cerniera dell'equilibratore a comandi bloccati $C_{\mathcal{H},e}$ in condizioni di equilibrio, giustificandone il segno; (e) determinare il momento di cerniera di comando $\mathcal{H}_{e,C}$, cioè la coppia richiesta a "bloccare" l'equilibratore; (f) in base ai dati della tabella 4, disegnare il grafico del $C_{\mathcal{H},e}$ in funzione di α_H (espresso in deg) per un δ_e relativo alla condizione di equilibrio considerata e per un $\delta_e = 0^\circ$.



(4) Per il velivolo in virata corretta a destra si impostino le opportune equazioni di equilibrio e si calcolino le corrispondenti deflessioni degli alettoni e del timone. Si assumano i seguenti dati:

$$\begin{split} p &= -0.228\,\mathrm{deg/s}, \, r = 3.327\,\mathrm{deg/s}, \, C_{\mathcal{L}_p} = -0.456\,\mathrm{rad^{-1}}, \, C_{\mathcal{L}_r} = 0.298\,\mathrm{rad^{-1}}, \, C_{\mathcal{L}_{\delta_{\mathrm{a}}}} = -0.0925\,\mathrm{rad^{-1}}, \, C_{\mathcal{L}_{\delta_{\mathrm{r}}}} = -0.00753\,\mathrm{rad^{-1}}, \, C_{\mathcal{L}_{\delta_{\mathrm{r}}}} = -0.00753\,\mathrm{rad^{-1}}, \, C_{\mathcal{L}_{\delta_{\mathrm{r}}}} = -0.004457\,\mathrm{rad^{-1}}. \end{split}$$

NOTE

Α

▶ Utilizzare il seguente modello di atmosfera

$$\frac{T(h)}{T_{\rm SL}} = \sigma(h) = \left(1 + \frac{LR}{T_{\rm SL}}h\right)^{4.257}, \quad LR = -0.0065 \frac{\rm K}{\rm m} \; , \quad T_{\rm SL} = 288.16 \; {\rm K} \; , \quad \rho(h) = \rho_{\rm SL}\sigma(h) \; , \quad \rho_{\rm SL} = 1.225 \; \frac{\rm kg}{\rm m^3} \; , \quad R_{\rm aria} = 287 \; \frac{\rm Nm}{\rm kgK} \; , \quad \gamma_{\rm aria} = 1.4 \quad (1) \; {\rm My} \; , \quad \gamma_{\rm Aria} = 1.4 \; {\rm My} \; , \quad \gamma_{\rm Aria} = 1.4 \; {\rm My} \; , \quad \gamma_{\rm Aria} = 1.4 \; {\rm My} \; , \quad \gamma_{\rm Aria} = 1.4 \; {\rm My} \; , \quad \gamma_{\rm Aria} = 1.4 \; {\rm My} \; , \quad \gamma_{\rm Aria} = 1.4 \; {\rm My} \; , \quad \gamma_{\rm Aria} = 1.4 \; {\rm My} \; , \quad \gamma_{\rm Aria} = 1.4 \; {\rm My} \; , \quad \gamma_{\rm Aria} = 1.4 \; {\rm My} \; , \quad \gamma_{\rm Aria} = 1.4 \; {\rm My} \; , \quad \gamma_{\rm Aria} = 1.4 \; {\rm My} \; , \quad \gamma_{\rm Aria} = 1.4 \; {\rm My} \; , \quad \gamma_{\rm Aria} = 1.4 \; {\rm My} \; , \quad \gamma_{\rm Aria} = 1.4 \; {\rm My} \; , \quad \gamma_{\rm Aria} = 1.4 \; {\rm My} \; , \quad \gamma_{\rm Aria} = 1.4 \; {\rm My} \; , \quad \gamma_{\rm Aria} = 1.4 \; {\rm My} \; , \quad \gamma_{\rm Aria} = 1.4 \; {\rm My} \; , \quad \gamma_{\rm Aria} = 1.4 \; {\rm My} \; , \quad \gamma_{\rm Aria} = 1.4 \; {\rm My} \; , \quad \gamma_{\rm Aria} = 1.4 \; {\rm My} \; , \quad \gamma_{\rm Aria} = 1.4 \; {\rm My} \; , \quad \gamma_{\rm Aria} = 1.4 \; {\rm My} \; , \quad \gamma_{\rm Aria} = 1.4 \; {\rm My} \; , \quad \gamma_{\rm Aria} = 1.4 \; {\rm My} \; , \quad \gamma_{\rm Aria} = 1.4 \; {\rm My} \; , \quad \gamma_{\rm Aria} = 1.4 \; {\rm My} \; , \quad \gamma_{\rm Aria} = 1.4 \; {\rm My} \; , \quad \gamma_{\rm Aria} = 1.4 \; {\rm My} \; , \quad \gamma_{\rm Aria} = 1.4 \; {\rm My} \; , \quad \gamma_{\rm Aria} = 1.4 \; {\rm My} \; , \quad \gamma_{\rm Aria} = 1.4 \; {\rm My} \; , \quad \gamma_{\rm Aria} = 1.4 \; {\rm My} \; , \quad \gamma_{\rm Aria} = 1.4 \; {\rm My} \; , \quad \gamma_{\rm Aria} = 1.4 \; {\rm My} \; , \quad \gamma_{\rm Aria} = 1.4 \; {\rm My} \; , \quad \gamma_{\rm Aria} = 1.4 \; {\rm My} \; , \quad \gamma_{\rm Aria} = 1.4 \; {\rm My} \; , \quad \gamma_{\rm Aria} = 1.4 \; {\rm My} \; , \quad \gamma_{\rm Aria} = 1.4 \; {\rm My} \; , \quad \gamma_{\rm Aria} = 1.4 \; {\rm My} \; , \quad \gamma_{\rm Aria} = 1.4 \; {\rm My} \; , \quad \gamma_{\rm Aria} = 1.4 \; {\rm My} \; , \quad \gamma_{\rm Aria} = 1.4 \; {\rm My} \; , \quad \gamma_{\rm Aria} = 1.4 \; {\rm My} \; , \quad \gamma_{\rm Aria} = 1.4 \; {\rm My} \; , \quad \gamma_{\rm Aria} = 1.4 \; {\rm My} \; , \quad \gamma_{\rm Aria} = 1.4 \; {\rm My} \; , \quad \gamma_{\rm Aria} = 1.4 \; {\rm My} \; , \quad \gamma_{\rm Aria} = 1.4 \; {\rm My} \; , \quad \gamma_{\rm Aria} = 1.4 \; {\rm My} \; , \quad \gamma_{\rm Aria} = 1.4 \; {\rm My} \; , \quad \gamma_{\rm Aria} = 1.4 \; {\rm My} \; , \quad \gamma_{\rm Aria} = 1.4 \; {\rm My} \; , \quad \gamma_{\rm Aria} = 1.4 \; {\rm My} \; , \quad \gamma_{\rm Aria} = 1$$

▶ Calcolare i gradienti delle rette di portanza delle ali finite con la cosiddetta formula di Polhamus:

$$C_{L_{\alpha}} = \frac{2\pi \mathcal{R}}{2 + \sqrt{4 + \frac{\mathcal{R}^{2}(1 - M^{2})}{k_{P}^{2}} \left(1 + \frac{\tan^{2} \Lambda_{c/2}}{1 - M^{2}}\right)}} \quad \text{con} \quad k_{P} = \begin{cases} 1 + \mathcal{R} \frac{1,87 - 0,000233\Lambda_{le}}{100} & \text{se } \mathcal{R} < 4 \\ 1 + \frac{(8,2 - 2,3\Lambda_{le}) - \mathcal{R}(0,22 - 0,153\Lambda_{le})}{100} & \text{se } \mathcal{R} \ge 4 \end{cases}$$

$$\frac{(\Lambda_{le} \text{ in rad})}{\tan \Lambda_{c/n} = \tan \Lambda_{le} - \frac{(4/n)(1 - \lambda)}{2n(1 - \lambda)}}$$

▶ Per stimare i gradienti di downwash in coda si utilizzi la seguente formula analitica:

$$\frac{\mathrm{d}\varepsilon}{\mathrm{d}\alpha} = \sqrt{1 - M^2} \left[4{,}44 \left(K_{\mathcal{R}} K_{\lambda} K_{\mathrm{H}} \sqrt{\cos \Lambda_{\mathcal{C}/4}} \right)^{1,19} \right]$$
 (3)

con $\Lambda_{c/4}$ l'angolo di freccia della linea dei fuochi. I fattori moltiplicativi $K_{\mathcal{R}}$, K_{λ} e K_{H} tengono conto, rispettivamente, dell'allungamento \mathcal{R} , della rastremazione λ dell'ala e del posizionamento del piano di coda orizzontale. Essi sono espressi dalle formule

$$K_{\mathcal{R}} = \frac{1}{\mathcal{R}} - \frac{1}{1 + \mathcal{R}^{1.7}}, \qquad K_{\lambda} = \frac{10 - 3\lambda}{7}, \qquad K_{\mathrm{H}} = \frac{1 - (h_{\mathrm{H}}/b)}{(2d_{\mathrm{H}}/b)^{1/3}}$$
 (4)

dove $h_{\rm H}$ è la distanza, nel piano di simmetria del velivolo, del centro aerodinamico dell'impennaggio orizzontale dalla direttrice della corda $c_{\rm r}$ di radice dell'ala. Per convenzione $h_{\rm H}$ è positiva se il piano di coda è situato al di sopra della corda di radice; la quantità $d_{\rm H}$ è la distanza, secondo la direttrice di $c_{\rm r}$, del centro aerodinamico dell'impennaggio orizzontale dal punto a un quarto della corda di radice alare. Nel caso specifico assumere $h_{\rm H}=0$.

- Nel rispondere al quesito 2, si calcolino le caratteristiche aerodinamiche del velivolo all'equilibrio ritenendo accoppiate l'equazione alla rotazione di beccheggio con l'equazione alla traslazione lungo la normale alla traiettoria.
- ightharpoonup L'angolo d'attacco della corrente che investe il disco dell'elica in coda è $\alpha_p = \alpha_B \varepsilon_p$, dove ε_p è l'angolo di downwash in corrispondenza del disco. Si ponga

$$N_{
m p}pprox 0+rac{{
m d}N_{
m p}}{{
m d}lpha_{
m B}}\,lpha_{
m B}=rac{{
m d}N_{
m p}}{{
m d}lpha_{
m p}}\,rac{{
m d}lpha_{
m p}}{{
m d}lpha_{
m B}}\,lpha_{
m B}=q_{\infty}S_{
m p}\,rac{{
m d}C_{N_{
m p}}}{{
m d}lpha_{
m p}}\,rac{{
m d}lpha_{
m p}}{{
m d}lpha_{
m B}}\,lpha_{
m B}$$

e si applichino opportunamente le formule (3)-(4).



Figura 1 Il General Atomics MQ-1 Predator.